



مطالعه پایداری عملکرد در ارقام آفتاگردن با استفاده از روش AMMI

علی خماری^۱، خداداد مصطفوی^۲ و عبدالله محمدی^۳

۱- دانشجوی دکتری تخصصی، گروه زراعت و اصلاح نباتات، دانشگاه آزاد اسلامی، واحد کرج، باشگاه پژوهشگران و نخبگان جوان، کرج

۲- دانشیار، دانشکده کشاورزی و منابع طبیعی، واحد کرج، دانشگاه آزاد اسلامی، کرج (نوبنده مسؤول: mostafavi@kiau.ac.ir)

۳- دانشیار، دانشکده کشاورزی و منابع طبیعی، واحد کرج، دانشگاه آزاد اسلامی، کرج

تاریخ پذیرش: ۹۵/۴/۱۴؛ تاریخ دریافت: ۹۵/۱/۲۸

چکیده

اثر متقابل ژنتیپ در محیط برای بدنزدگران از اهمیت ویژه‌ای برخوردار بوده و یکی از مسائل مهم و پیچیده در برنامه‌های بدنزدگی برای تهیه ژنتیپ پر محصول و پایدار از لحاظ عملکرد و آزادسازی ژنتیپ‌های جدید محسوب می‌شود. به منظور بررسی سازگاری و پایداری ارقام آفتاگردن به شرایط آب و هوایی مختلف، ۱۲ رقم آفتاگردن در پنج منطقه آب و هوایی شامل اراک، بیرجند، شیراز، کاشمر و کرج در قالب طرح بلوك‌های کامل تصادفی با سه تکرار ارزیابی شدند. جهت بررسی اثر متقابل ژنتیپ و محیط از مدل اثرات اصلی افزایشی و اثرات متقابل ضرب پذیر (امی) استفاده شد. بر اساس نتایج تجزیه اثرات افزایشی جمع پذیر (تجزیه واریانس) و اثرات متقابل ضرب پذیر (تجزیه به مؤلفه‌های اصلی) اثر محیط و اثر متقابل ژنتیپ در محیط به ترتیب در سطح احتمال یک و پنج درصد معنی‌دار بود و دو مؤلفه اصلی اول اثر متقابل بیش از ۸۴ درصد از مجموع مرباعات اثر متقابل را توجیه نمودند. نمودار بای‌پلات اولین مؤلفه اصلی اثر متقابل و میانگین عملکرد داده برای ژنتیپ‌ها و محیط‌ها نشان داد که ژنتیپ Progress با عملکردی بیش از میانگین و کمترین میزان از نظر اولین مؤلفه اصلی اثر متقابل به عنوان ژنتیپ پایدار و پر محصول شناخته شد. ژنتیپ‌های Progress به عنوان ژنتیپ Gabur و Record بعد از ژنتیپ‌های Zargol و Master و Zargol شناخته شدند. نمودار بای‌پلات مربوط به دو مؤلفه اصلی اول اثر متقابل نشان داد که ژنتیپ‌های Zargol و Zaria در اراک و کرج، ژنتیپ‌های Favorit و Azargol در شیراز، Gabur و SHF81-90 در کاشمر و ژنتیپ‌های Lakomka و Armaverski در Zaria و Sor در بیرجند دارای سازگاری خصوصی بودند. همچنین ژنتیپ‌های Gabur و SHF81-90 و Zargol نیز نسبت به سایر ژنتیپ‌ها از سازگاری عمومی بیشتری برخوردار بودند.

واژه‌های کلیدی: آفتاگردن، اثر متقابل ژنتیپ در محیط، سازگاری، امی

وابسته است. پایداری نتیجه اثر متقابل ژنتیپ در محیط بوده و برآیند این واکنش به ساختار ژنتیکی رقم و شدت عوامل محیطی بخصوص عوامل محدودکننده محیط بستگی دارد. مطالعه جامع اثر متقابل ژنتیپ×محیط (G×E) برای عملکرد به ابزار قدرتمندی نیاز دارد. روش‌های مختلفی برای بررسی اثر متقابل ژنتیپ و محیط وجود دارد که به طور کلی به دو گروه اصلی روش‌های تک متغیره و چند متغیره تقسیم می‌شوند. در میان روش‌های تک متغیره، مدل اثرات اصلی افزایشی و اثرات متقابل ضرب پذیر (AMMI) روش کارآمدی برای حذف خطأ یا نویز و آشکار کردن الگوی مناسب داده‌ها است (۳۹). دلیل استفاده گسترده از این روش این است که این مدل بخش بزرگی از مجموع مرباعات اثر متقابل را توجیه و اثرات اصلی و اثرات متقابل را از یکدیگر تفکیک می‌کند (۱۲). همچنین این روش در طراحی برنامه‌های اصلاحی بند مدت در خصوص سازگاری خصوصی و انتخاب محیط مناسب بسیار سودمند است (۱۵). محققان مختلف از بین روش‌های مختلف تجزیه پایداری، تجزیه AMMI را روشی مطمئن برای تجزیه واکنش سازگاری، پایداری ارقام و انتساب ارقام به محیط‌ها یا مکان‌های مختلف گزارش کردند (۱۶، ۱۷). روش امی یک مدل ادغام شده از تجزیه واریانس و تجزیه به مؤلفه‌های اصلی می‌باشد که ابتدا با استفاده از روش‌های تجزیه واریانس، اثر اصلی ژنتیپ‌ها و محیط‌ها محاسبه می‌شود و سپس اجزای ژنتیپی و محیطی اثر متقابل، برای ماتریس انحراف از اثر افزایشی محاسبه می‌شود (۸). تاراکانوس و رزگاس (۳۵) روش AMMI را روشی موثر برای

مقدمه
دانه‌های روغنی از مهم‌ترین منابع تأمین انرژی می‌باشند که از نظر اهمیت، پس از غلات قرار دارند. آفتاگردن (*Helianthus annuus* L.) یکی از این دانه‌های روغنی است که در ردیف سویا، کلزا، پنبه و گلرنگ قرار دارد و به دلیل اسیدهای چرب مفید همواره در چند دهه گذشته مورد توجه قرار گرفته است. آگاهی از ماهیت اثر متقابل ژنتیپ در محیط به بهترگار کمک می‌نماید تا بتواند ژنتیپ‌ها را با دقت بیشتری ارزیابی کرده و ژنتیپ‌های برتر از نظر پایداری و عملکرد بالا را انتخاب نمایند (۲۸، ۱۹، ۷). بررسی اثر متقابل ژنتیپ و محیط با هدف انتخاب ژنتیپ برتر یکی از مهم‌ترین مراحل برنامه‌های بهترگاری به شمار می‌رود (۱۸). وجود اثر متقابل ژنتیپ و محیط باعث کاهش بازده روش‌های اصلاحی شده و سودمندی وسعت کشت ژنتیپ‌های اصلاح شده را کاهش می‌دهد به طوری که محققین را قادر می‌سازد تا برای مکان‌های مختلف، ژنتیپ‌های متفاوتی را اصلاح نمایند (۶، ۸). چنانچه دو یا چند ژنتیپ در محیط‌های مختلف کشت شوند ممکن است تفاوت‌هایی در عملکرد نسبی آن‌ها مشاهده شود که این پدیده را اثر متقابل ژنتیپ در محیط می‌نامند (۲۴). اثر متقابل ژنتیپ در محیط به حالتی گفته می‌شود که ژنتیپ‌ها به تغییرات محیطی واکنش‌های متفاوتی نشان دهند. فالکونر (۳) معتقد است به جای پایداری عملکرد بهتر است از واژه انعطاف‌پذیری فنوتیپی استفاده شود. پایداری عملکرد به ساختار ژنتیکی یا عکس العمل ژنتیپ‌های فردی یا گروهی

می‌گیرد (۳۲). درصد روغن و اسیدهای چرب در آفتابگردان به میزان قابل ملاحظه‌ای تحت تأثیر شرایط محیطی قرار دارد (۲۵، ۲۶). کیفیت روغن آفتابگردان مربوط به دانه است و درصد روغن و ترکیب اسیدهای چرب، ارزش روغن برای صنایع را تعییف می‌کند (۲۷). در آفتابگردان، درصد روغن دانه و نسبت اسیدهای چرب مختلف در طول رشد به شدت توسط عوامل محیطی دانه را تحت تأثیر قرار می‌دهد. آباموف و الوریک (۱) با استفاده از روش امی در ارقام برجسته، تأثیرات محیط، ژنتیک و اثر متقابل آن‌ها را مطالعه کردند و اظهار داشتند که مدل امی مناسب‌ترین مدل برای بررسی اثر متقابل ژنتیک و محیط و تعیین ارقام پایدار است. سعید و همکاران از تجزیه امی برای بررسی لاین‌های برجسته استفاده کردند و با دو مولقه اصلی اول که $83/39$ درصد از تغییرات کل مربوط به اثر متقابل ژنتیک و محیط را در بر داشت، نسبت به رسم بای‌پلات و تصمیم‌گیری در مورد پایداری لاین‌های برجسته اقدام کردند (۳۱). فرشادفر و سوتکا (۱۴) با استفاده از روش امی پایداری ۲۲ ژنتیک گندم دوروم را در ایران ارزیابی کردند. نتایج نشان داد که $92/5$ درصد از تنوع داده‌ها توسط مدل AMMI3 توجیه می‌شود که $4/5$ برابر روش تجزیه رگرسیون خطی بود. استنبلي و همکاران (۳۴) شش ژنتیک برجسته را در دوازده محيط (چهار مکان و سه سال) از نظر عملکرد مطالعه کردند. آستانه با برآش مدل 2 AMMI و با رسم نمودار بای‌پلات مربوطه، ژنتیک‌های مناسب هر منطقه را شناسایی کردند. مصطفوی و همکاران (۲۲) چهارده لاین ذرت را با استفاده از روش امی و براساس داده‌های حاصل از تلاقی‌های دای‌آل ارزیابی کردند. مدل برآش داده شده بیش از 75 درصد از تنوع داده‌ها را توجیه کرد. نتایج حاصل از این روش، لاین‌های دارای ترکیب‌پذیری عمومی و خصوصی بالا را به درستی از یکدیگر تفکیک کرد.

هدف از این مطالعه شناسایی ارقام پایدار، انتخاب ارقام با عملکرد بالا و همچنین برآورد اثر متقابل ژنتیک×محیط در ارقام آفتابگردان با استفاده از روش تجزیه و تحلیل پایداری AMMI بود.

مواد و روش‌ها

به منظور بررسی سازگاری و پایداری ارقام آفتابگردان به شرایط آب و هوایی مختلف، 12 رقم آفتابگردان در 5 منطقه شامل اراک، بیرون‌دشت، شیراز، کاشمر و کرج در سال زراعی 1394 مورد مطالعه قرار گرفتند. نام هر ژنتیک و مشخصات جغرافیایی ایستگاه‌های اجرای آزمایش به ترتیب در جداول 1 و 2 آراهه شده است. ارقام آفتابگردان در هر محیط در قالب طرح بلوک‌های کامل تصادفی با سه تکرار از لحاظ صفت عملکرد دانه مورد ارزیابی قرار گرفتند. هر کرت شامل سه ردیف کاشت به طول چهار متر و به فاصله شست سانتی‌متر و فاصله بین بوته 20 سانتی‌متر در نظر گرفته شد. میزان بذر مورد استفاده شش کیلوگرم در هکتار (62500 بوته در هکتار) و میزان کود ازته 100 کیلوگرم در هکتار در نظر گرفته شد. مارزه با علف‌های هرز پهن برگ و نازک برگ با وجود دستی و در صورت لزوم با علف‌کش انجام گرفت. مراحل آبیاری و

مطالعه اثر متقابل ژنتیک × محیط معرفی کردند و بیان داشتند که نتایج روش گرافیکی حاصل می‌تواند ارقام مناسب را برای کشت در محیط‌های مناسب یا ارقام را برای کشت در شرایط محیطی خاص مشخص کند. به بای‌پلات گرافیکی نتایج حاصل از تجزیه امی، بای‌پلات گفته می‌شود. بای‌پلات روابط بین ژنتیک‌ها با محیط‌ها و اثر متقابل بین آن‌ها را نمایان می‌سازد (۴۰). بای‌پلات تجزیه امی یک ابزار قدرتمند برای تعیین الگوهای گرافیکی اثر متقابل ژنتیک در محیط محسوب می‌شود. مدل امی اثر متقابل ژنتیک و محیط را در بیش از یک بعد توصیف کرده و فرسته‌های بهتری را جهت مطالعه و تفسیر اثر متقابل ژنتیک × محیط نسبت به تجزیه واریانس و رگرسیون در اختیار قرار می‌دهد (۳۶). بنگ و همکاران (۵) خاطر نشان کردند که پتانسیل عملکرد آفتابگردان به شدت و استهانه به شرایط محیطی است. اثرات اصلی محیطی (E) و اثر متقابل ژنتیک×محیط (GEI) به عنوان مهم‌ترین منابع تنوع برای اندازه‌گیری عملکرد محصولات زراعی گزارش شده است (۱۱، ۲۹، ۳۷). به همین دلیل، آزمایشات چند محیط در سراسر جهان برای محصولات عمده زراعی انجام شده است. اگرچه میزان عملکرد نتیجه ترکیب امی ژنتیک، اثر محیط و اثر متقابل ژنتیک×محیط می‌باشد، تنها ژنتیک و اثر متقابل ژنتیک×محیط مربوط به ارزیابی رقم بوده و شناسایی و کنترل محیط مشکل می‌باشد. معمولاً بخش بزرگی از تنوع عملکرد توسعه محیط توجیه می‌شود (80% و یا بالاتر)، در حالی که اثر ژنتیک و اثر متقابل ژنتیک و محیط عموماً کوچک می‌باشد (۳۸). با این حال، تفسیر و استفاده از داده‌های آزمایشات چند محیط برای تضمیم‌گیری انتخاب موثر، یک جالش عمده برای محققان می‌باشد. شومن (۳۳) برای بررسی اثر متقابل ژنتیک×محیط در آفتابگردان از روش‌های مختلف پایداری استفاده نمود و بیان داشت که مدل AMMI نه تنها پایداری ژنتیک‌ها را معرفی می‌کند، بلکه می‌تواند سازگاری خصوصی ارقام را تعیین کند. بنابراین مدل AMMI دقیق‌ترین برآورد از پتانسیل عملکرد حقیقی ارقام و محیط‌های خاص که ژنتیک‌ها در آنها ارزیابی می‌شوند را بیان می‌کند. طی آزمایشی که بر روی 19 رقم آفتابگردان در خارطوم (سودان) انجام شد، تفاوت معنی‌داری در ارقام مورد ارزیابی در سطوح مختلف اثر متقابل ژنتیک×محیط وجود داشت و اعلام شد که عملکرد دانه آفتابگردان شدیداً وابسته به شرایط محیطی است. بنابراین انجام آزمایشات چند مکان برای چندین سال برای شناسایی ارقام پر محصول و پایدار، ضروری است (۳۰). پایداری 25 ترکیب هیبریدی جدید آفتابگردان در برابر سه هیبرید استاندارد در سه مکان مقایسه گردید. نتایج تجزیه امی، تغییرات قابل توجهی در عملکرد دانه و درصد روغن در دانه از یک مکان به مکان دیگر و در درون هر مکان نشان داد. همچنین عملکرد دانه عمده‌تر تحت تأثیر مکان (محیط) بود در حالی که تغییرات در محتوای روغن به تفاوت‌های ژنتیکی در هیبریدها نسبت داده شد (۲۰). پایداری واریته در دامنه وسیعی از شرایط محیطی، عمده‌تر به وسیله درجه اثر متقابل با محیط‌های مختلف در حال رشد مورد بررسی قرار

محیط استخراج و با ترسیم بای‌پلات‌های مربوطه، سازگاری عمومی و خصوصی ژنوتیپ‌ها تعیین شد (۳۴). از نرمافزار SAS جهت تجزیه داده‌ها به روش امی و از Minitab جهت ترسیم نمودارها استفاده گردید.

برداشت محصول طبق روش‌های معمول هر منطقه انجام گرفت. در این مطالعه برای تعیین پایداری ژنوتیپ‌ها از روش چند متغیره AMMI استفاده گردید. ضمن انجام تجزیه واریانس AMMI مقدارهای مؤلفه‌های اصلی برای هر ژنوتیپ و

جدول ۱- اسامی ارقام آفتابگردان مورد مطالعه در پژوهش

Table 1. Names of sunflower cultivars studied in the research

کد ژنوتیپ	مشنا	نام ژنوتیپ	ردیف	کد ژنوتیپ	مشنا	نام ژنوتیپ	ردیف
G7	روسیه	Lakomka	۷	G1	ایران	Zargol	۱
G8	رومانی	Record	۸	G2	روسیه	Armaverski	۲
G9	ایران	Zaria	۹	G3	ایران	Azargol	۳
G10	روسیه	Sor	۱۰	G4	روسیه	Favorit	۴
G11	روسیه	Progress	۱۱	G5	روسیه	Master	۵
G12	روسیه	Gabur	۱۲	G6	روسیه	SHF81-90	۶

جدول ۲- مشخصات جغرافیایی مناطق انجام پژوهش

Table 2. Geographical characteristics of the locations in project

عرض جغرافیایی (درجه-دقیقه)	طول جغرافیایی (درجه-دقیقه)	ارتفاع از سطح دریا (متر)	منطقه
۳۵:۵۵	۵۰:۵۴	۱۳۱۲	کرج
۴۹:۳۲	۵۲:۳۶	۱۴۸۴	شهراز
۳۲:۵۲	۵۹:۱۲	۱۴۹۱	بیرجند
۳۵:۲	۵۸:۲۸	۱۱۰۹	کاشمر
۳۴:۰۶	۴۹:۴۶	۱۷۰۸	اراک

(IPCA1) ۵۱/۴۹ درصد و دومین مؤلفه اصلی اثر متقابل (IPCA2) ۳۲/۸۵ درصد از واریانس کل را به خود اختصاص دادند که این دو مؤلفه در مجموع بیش از ۸۴ درصد از مجموع مربيعات اثر متقابل ژنوتیپ×محیط را توجیه کردند. مجموع مربيعات باقی‌مانده از مدل امی (نویز)^۲ با کمترین میانگین مربيعات غیرمعنی‌دار بود که نشان‌دهنده دقت مدل امی می‌باشد (۲). بنابراین مدل با دو مؤلفه اصلی در نظر گرفته شد. آرمینیان و هوشمند با بررسی که بر روی گندم انجام دادند، اظهار نمودند که دو مؤلفه اصلی اول بیش از ۹۹ درصد از تنوع اثر متقابل را توجیه می‌نماید (۴). عملکرد ژنوتیپ‌ها، محیط‌ها، مقادیر اولین و دومین مؤلفه اصلی اثر متقابل برای ارقام و محیط‌ها در جدول ۴ درج شده است. میانگین عملکرد ژنوتیپ‌ها در تمامی محيط‌ها برابر ۳/۳ تن در هکتار بود. بیشترین عملکرد دانه مربوط به ژنوتیپ Progress با ۳/۶۲ تن در هکتار و کمترین عملکرد دانه مربوط به ژنوتیپ Azargol و SHF81-90 با ۲/۹۳ و ۲/۰۲ تن در هکتار بود. عملکرد دانه ژنوتیپ Favorit برابر با ۳/۲۷ تن در هکتار می‌باشد. عملکرد دانه ژنوتیپ Zargol با ۴/۱۹ تن در هکتار و مقدار اولین مؤلفه اصلی اثر متقابل (IPCA1) نزدیک به صفر به عنوان پایدارترین محیط شناخته شد (جدول ۴).

به منظور آزمون همگنی واریانس خطاهای آزمایشی، آزمون بارتلت انجام شد، نتیجه این آزمون حاکی از بکنواختی واریانس خطأ در آزمایش‌های مختلف بود. تجزیه واریانس مرکب عملکرد دانه نشان داد که میانگین مربيعات مربوط به ژنوتیپ، محیط و اثر متقابل ژنوتیپ در محیط در سطح احتمال یک درصد معنی‌دار بود. این موضوع نشان‌دهنده تنوع کافی بین ژنوتیپ‌ها در محیط‌های مختلف است. نتایج تجزیه واریانس داده‌ها براساس مدل امی در جدول ۳ ارائه شده است. با توجه به نتایج تجزیه واریانس، اثر محیط در سطح احتمال یک درصد معنی‌دار بود که نشان‌دهنده تنوع بین محیط‌های مورد مطالعه است، اثر متقابل ژنوتیپ×محیط برای عملکرد در سطح احتمال پنج درصد معنی‌دار بود، این موضوع حاکی از مشکلات پیش‌روی به‌نژادگران اصلاح نباتات و گزینش ژنوتیپ‌های جدید جهت آزادسازی می‌باشد. کلاهه جاری و همکاران طی آزمایشی که به‌منظور مطالعه اثر متقابل در آفتابگردان انجام دادند، بیان داشتند که اثر متقابل ژنوتیپ در محیط در سطح احتمال یک درصد معنی‌دار می‌باشد (۲۰). با توجه به معنی‌دار بودن اثر متقابل ژنوتیپ×محیط لازم است امکان تجزیه آن به مؤلفه‌های اصلی اثر متقابل ژنوتیپ و محیط (IPCA)^۱ انجام شود. مؤلفه اصلی اثر متقابل اول در سطح احتمال ۱ درصد و مؤلفه اصلی اثر متقابل دوم در سطح احتمال پنج درصد معنی‌دار بود. اولین مؤلفه اصلی اثر متقابل

جدول ۳- تجزیه واریانس عملکرد دانه بر اساس روش امی برای ژنوتیپ‌های آفتابگردان در پنج محیط

منابع تغییرات	درجه آزادی	مجموع مربعات	میانگین مربعات	واریانس توجیه شده (%)
بلوک	۲	۲۲۹۶۸۷۴/۲۱	۱۱۴۴۱۸/۶۱ ^{ns}	۱۶۰۱
محیط	۴	۴۶۵۱۱۵۸/۱۷	۱۱۶۳-۳۹۶/۹	۲۲/۴۳۵
ژنوتیپ	۱۱	۶۹۳۳۶۷۶/۵۱	۶۳۰-۳۳۴/۲۳ ^{ns}	۴/۸۳۴
ژنوتیپ/محیط	۴۴	۳۳۱۶-۵۱۴/۴۳	۷۳۰-۹۲۰/۷۸	۲۲/۴۲۲
IPCA1	۱۴	۱۶۵۶-۳۴/۱۷	۱۱۸۸۲۸۸/۷۶	۵۱۴۹۲
IPCA2	۱۲	۱۰۵۶۷۲۸/۵۵	۸۸-۶۵۷۳-	۳۲/۸۵۸
باقیمانده (توبن)	۱۸	۵۰۳۷۶/۷۲	۲۷۹۵۹۸/۱۵ ^{ns}	۱۵۶۴۸
خطا	۱۱۸	۵۵۵۱۴۶۵۵/۵	۴۷-۴۶۳/۲	۳۸/۷۰۵
ضریب تغییرات (CV%)	۲۰/۷۸			

* و ** ns: معنی‌دار در سطح احتمال ۵ و ۱ درصد و غیر معنی‌دار

جدول ۴- میانگین عملکرد دانه، مقادیر مؤلفه اصلی اول و دوم اثر متقابل

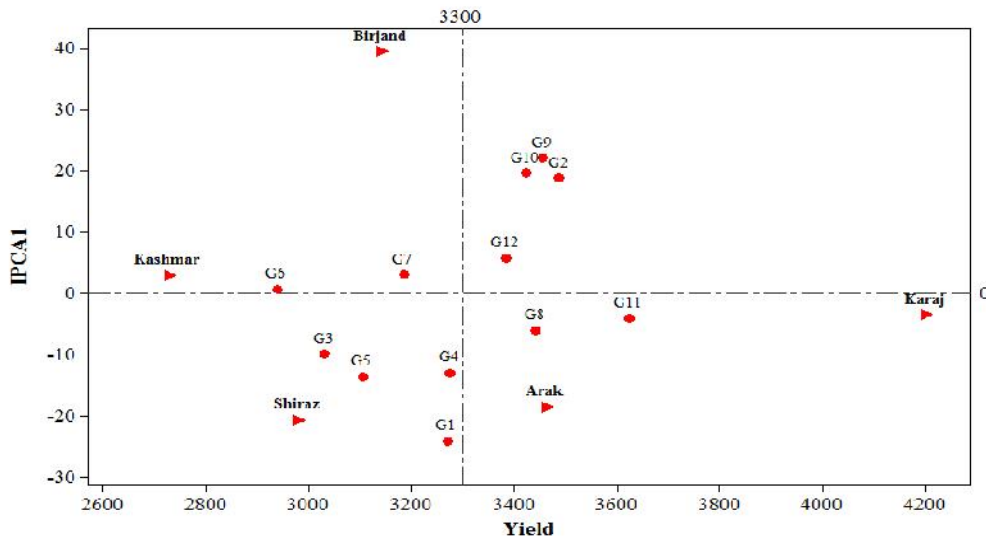
ژنوتیپ/محیط	عملکرد دانه (کیلوگرم در هکتار)	اولین مؤلفه اثر متقابل	دومین مؤلفه اثر متقابل	آماره پایداری امی (ASV)	میانگین مربعات
Zargol	۳۲۸/۷۷	-۲۲/۷	-۴/۴۶	۷۷/۵	
Armaverski	۳۴۸۵/۶۷	۱۸/۸۳	۶/۲۸	۳۰/۱۷	
Azargol	۳۰۲۹/۶۷	-۹/۸۷	۲/۲۸	۱۵/۶۴	
Favorit	۳۲۲۷/۱۳	-۱۷/۸۵	-۲/۷۳	۳۲/۹۹	
Master	۳۱۰-۷	-۱۲/۴۸	-۱۲/۷	۲۵/۲۸	
SHF81-90	۲۹۷/۲۷	۰/۷۷	-۶/۶۳	۶/۷۴	
Lakomka	۳۱۸۳/۸۰	۳/۱۳	۴/۷۰	۶/۷۹	
Record	۳۴۴۱/۴۰	-۵/۹۵	۱۷/۷۱	۲۰/۰۱	
Zaria	۳۴۵۲/۸۰	۲۲/۱۱	۰/۰۹	۳۴/۶۴	
Sor	۳۴۳۱/۸۰	۱۹/۶۴	۱/۹۵	۳۰/۱۴	
Progress	۳۶۲۲/۸۷	-۴/۰۴	-۱۹/۲۷	۲۰/۱۹	
Gabur	۳۳۸۲/۱۳	۵/۷۹	-۱۴/۴۱	۱۷/۰۳	
اراک	۳۴۵۹/۹۴	-۱۸/۴۶	-۲۶/۱۶	۹۰/۰۱	
بیرجند	۳۱۳۹/۶۹	۳۹/۵۰	۵/۲۱	۶۲/۱۲	
کرج	۴۱۹۸/۷۸	-۳۴۶	-۴۴۱	۶/۹۹	
کاشمر	۲۷۷۶/۵۹	۳/۰۶	-۷/۶۲	۹/۰۰	
شیروز	۲۹۷۶/۹۷	-۲۰/۶۴	۳۲/۹۸	۴۶/۱۹	

نرده‌کتر باشند دارای اثر متقابل کمتری هستند. بر این اساس ژنوتیپ‌های SHF81-90، Progress و Lakomka و محیط‌های کرج و کاشمر از پایداری بیشتری برخوردار هستند. اگر ژنوتیپ و محیط از لحاظ اولین مؤلفه اثر متقابل هم علامت باشند، دارای اثر متقابل مثبت، و اگر از نظر این مؤلفه دارای علامت باشند، دارای نیازمندی داشته باشند. محیط‌های کرج و اراک عملکردی بیش از میانگین داشته و از محیط‌های اولین مؤلفه اصلی اثر متقابل روند مشابهی داشته زیرا از ژنوتیپ‌های Progress و Record با ژنوتیپ‌های دارای اثر متقابل منفی می‌باشند. این دو محیط با ژنوتیپ‌های Gabur و Sor، Armaverski و Zaria اثر متقابل منفی دارند. محیط‌های بیرجند و کاشمر با ژنوتیپ‌های SHF81-90 و Lakomka اثر متقابل مثبت اما عملکردی کمتر از میانگین دارند و با ژنوتیپ‌های Zargol، Azargol و Favorit و Master اثر متقابل منفی دارند. ژنوتیپ‌های Zargol و Master با محیط شیروز دارای اثر متقابل مثبت و عملکردی کمتر از میانگین دارند. در این نمودار ژنوتیپ‌ها و محیط‌هایی که در امتداد یک خط عمودی هستند عملکرد یکسانی دارند مانند ژنوتیپ‌های Zargol و Favorit و همچنین ژنوتیپ‌ها و محیط‌هایی که در امتداد یک خط افقی قرار گرفته باشند اثر متقابل مشابهی را نشان

در شکل (۱) بای‌پلات اولین مؤلفه اصلی اثر متقابل با میانگین صفت عملکرد دانه ارائه شده است. در این نمودار ژنوتیپی که از نظر عملکرد (محور افقی) مقدار بیشتر و از نظر اولین مؤلفه اثر متقابل (محور عمودی) مقدار کمتری (نرده) داشته باشد، ژنوتیپ مطلوب‌تری خواهد بود زیرا این ژنوتیپ هم عملکرد بالایی دارد و هم پایدار است (شکل ۱ و جدول ۴). در این مطالعه ژنوتیپ Progress بیشترین پایداری را داشت و ژنوتیپ پر محصول محسوب می‌شود زیرا عملکردی بیشتر از میانگین دارد و از نظر اولین مؤلفه اصلی اثر متقابل کمترین مقدار را به خود اختصاص داد و ژنوتیپ‌های Record و Gabur به ترتیب بعد از ژنوتیپ Progress بیشترین پایداری را داشتند. خط عمود میانه نمودار، از میانگین کل آزمایش می‌گذرد، ژنوتیپ‌ها و محیط‌های طرف راست نمودار دارای عملکردی بیشتر از میانگین و ارقام سمت چپ این خط دارای عملکردی کمتر از میانگین می‌باشند. محور افقی در میانه نمودار نشان‌دهنده اولین مؤلفه اثر متقابل که از نقطه صفر (IPCA1=0) می‌گذرد که ناحیه عدم وجود اثر متقابل را نشان می‌دهد ژنوتیپ‌ها و مکان‌هایی که اثر متقابل بالایی را نشان می‌دهند دارای مقادیر بزرگ (مثبت یا منفی) برای اولین مؤلفه اصلی اثر متقابل می‌باشند. هر چه ژنوتیپ‌ها و محیط‌ها به خط افقی

که دارای مقادیر اولین مؤلفه اصلی اثر متقابل نزدیک به صفر می‌باشند، مناسب نیستند؛ کاشمر و کرج در این بای‌پلات چنین حالتی را دارا می‌باشند. عکس این موضوع نیز این گونه صدق می‌کند که محیط‌های دارای اولین مؤلفه اصلی اثر متقابل بزرگ جهت تمایز و غربال ژنتیپ‌ها مناسب می‌باشند مانند محیط‌های بیرونی و شیراز که به دلیل دارا بودن مقادیر زیاد اولین مؤلفه اصلی اثر متقابل جهت جدا کردن ژنتیپ‌ها مناسب می‌باشد.

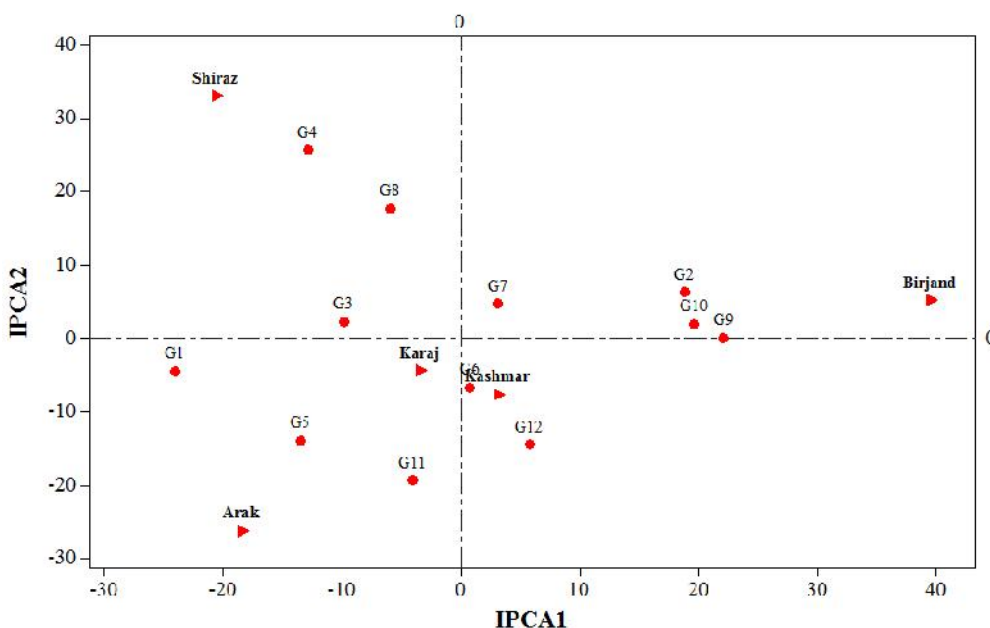
Lakomka، SHF81-90، Progress و محیط‌های کاشمر و کرج دارای اثر متقابل ژنتیپ در محیط مشابهی هستند (شکل ۱ و جدول ۴). ژنتیپ‌هایی که از لحاظ عملکرد مقدار کمتری داشته باشد اما دارای مقادیر مشبт برای اولین مؤلفه اصلی اثر متقابل باشند، برای کاشت در مناطق و نواحی ضعیف و فقری مناسب می‌باشند؛ به عبارتی با مناطق فقری اثر متقابل مشبт دارند (۱۷). در این مطالعه ژنتیپ SHF81-90 چنین وضعیتی را نشان می‌دهد. جهت تمایز و جدا کردن ژنتیپ‌ها، محیط‌های



شکل ۱- نمودار بای‌پلات مبانگین عملکرد ژنتیپ‌ها و محیط‌ها در مقابل مقادیر اولین مؤلفه اصلی اثر متقابل
Figure 1. Biplot view of environments and genotypes yield for the first interaction main component

Sor و Zaria از سازگاری عمومی بالایی برخوردار هستند زیرا به محورهای مؤلفه‌های اصلی اثر متقابل ژنتیپ در محیط نزدیک می‌باشند (شکل ۲). آماره پایداری امی Lakomka و SHF81-90 (ASV) نشان داد که ژنتیپ‌های SHF81-90 و Lakomka با کمترین میزان ASV به ترتیب $6/747$ و $6/765$ پایدارترین ژنتیپ‌ها بودند و Zargol با دارا بودن بیشترین میزان ASV ($37/455$ ، به عنوان نایاب‌ترین ژنتیپ شناخته شد (جدول ۴). می‌توان مناطق را بر اساس چهار ناحیه این نمودار (شکل ۲) تقسیم‌بندی کرد. مناطق هر ناحیه در بک گروه قرار می‌گیرند (۳، ۱۰). بنابر این چهار گروه مناطق به صورت زیر می‌باشد: گروه اول شامل محیط‌های اراک و کرج، گروه دوم شامل محیط شیراز، گروه سوم شامل محیط کاشمر و گروه چهارم نیز شامل محیط بیرونی، بر همین اساس گروههایی از ژنتیپ‌ها که واکنش ژنتیکی یکسانی دارند به صورت زیر گروه‌بندی می‌شوند: گروه اول شامل ژنتیپ‌های Favorit Zargol و Record، گروه دوم شامل ژنتیپ‌های Azargol و Progress، گروه سوم شامل ژنتیپ‌های Master و Gabur، گروه چهارم شامل ژنتیپ‌های Sor و Zaria و Lakomka، Armaverski و SHF81-90 می‌باشد.

نمودار بای‌پلات مربوط به مؤلفه‌های اصلی اول و دوم اثر متقابل ژنتیپ×محیط برای ژنتیپ‌ها و محیط‌ها در شکل (۲) نمایش داده شده است. در این نمودار ژنتیپ‌ها و محیط‌ها بر اساس مقادیر مؤلفه‌های اصلی اول و دوم مشخص شده‌اند، آن‌هایی که از لحاظ مقادیر مؤلفه‌های اصلی اول و دوم اثر متقابل نزدیک به مبدأ منختصات (نزدیک به صفر) باشد دارای کمترین اثر متقابل می‌باشند. این نمودار (مؤلفه اصلی اول و دوم اثر متقابل) در مجموع $84/351$ درصد از واریانس اثر متقابل ژنتیپ و محیط را توجیه می‌کند. در تفکیک ژنتیپ‌ها و مکان‌ها، سهم مؤلفه اصلی اول اثر متقابل $51/49$ درصد (بیشتر و سهم مؤلفه اصلی دوم اثر متقابل $32/85$ درصد) کمتر می‌باشد. در این نمودار ژنتیپ‌هایی که در مجاورت یک مکان قرار داشته باشند با آن محیط سازگاری خصوصی دارند و ژنتیپ‌هایی که نزدیک محورهای مؤلفه‌ها قرار گرفته باشند دارای سازگاری عمومی هستند (۲۳). بنا به تعریف ژنتیپ‌های Progress و Zargol و Master، ژئوگرافی اراک و کرج، ژنتیپ Favorit با محیط شیراز، ژنتیپ‌های Gabur و SHF81-90 با کاشمر و محیط بیرونی با ژنتیپ‌های Sor و Zaria دارای سازگاری خصوصی می‌باشند. ژنتیپ‌های Lakomka، SHF81-90



شکل ۲- بایپلات اولین مولفه اصلی اثر متقابل در مقابل دومین مولفه اصلی برای عملکرد دانه آفتابگردان
Figure 2. Biplot view for the first principal component interaction against second main component interaction for sunflower grain yield

ژنوتیپ‌های Sor و Zaria در محیط بیرجند و در محیط کاشمر ژنوتیپ‌های SHF81-90 و Gabur از عملکرد نسبتاً خوبی برخوردار بودند. بر اساس آماره پایداری امی در بین محیط‌های مورد بررسی، کرج با کمترین میزان ASV دارای بیشترین پایداری و کمترین نقش در پدیده اثر متقابل ژنوتیپ در محیط بود و بیرجند با بیشترین میزان آماره پایداری امی به عنوان ناپایدارترین محیط شناخته شد (جدول ۴).

مدل امی اثرات متقابل را به صورت دقیق و صحیح توجیه و ژنوتیپ‌های سازگار به هر منطقه آب و هوایی را از طریق نمایش گرافیکی نمایان می‌سازد. مناسب بودن این روش با محاسبه نویز مربوط به مجموع مربيعات اثر متقابل ژنوتیپ×محیط و نیز محاسبه ریشه میانگین مربيعات باقی مانده مشخص می‌شود. در این پژوهش مدل امی محیط‌های مورد مطالعه را به چهار گروه تقسیم کرد. ژنوتیپ‌های Master, Progress, Zargol و Record در محیط‌های اراک و کرج، ژنوتیپ‌های Favorit و Azargol در محیط شیراز،

منابع

1. Abamuf, J. and A. Allurik. 1998. AMMI analysis of rain fed lowland rice (*Oryza sativa* L.) traits in Nigeria. Plant Breeding, 117: 395-397.
2. Anandan, A. and R. Eswaran. 2009. Genotype by environment interaction of rice (*Oryza sativa* L.) hybrids in the east coast saline region of Tamil Nadu. In the Proceeding of 2^d Interaction Rice Congress, 226 pp.
3. Asenjo, C.A., R. Bezus and H.J. Acciari. 2003. Genotype by environment interaction of rice (*Oryza sativa* L.) in temperate region using the joint regression analysis and AMMI methods. Cereal Res. Communi, 31: 97-104.
4. Arminian, A. and S. Houshmand. 2012. Additive Main and Multiplicative Interaction Effect in Stability Analysis of Wheat (*Triticum aestivum* L.) Yield. Journal of Crop Breeding, 4(9): 1-13.
5. Bange, M.P., G.L. Hammer and K.G. Rickert. 1997. Environmental control of potential yield of sunflower (*Helianthus annuus* L.) in the tropics. Australian Journal of Agricultural Research, 48: 231-240.
6. Becker, H.B. and J. Leon. 1988. Stability analysis in plant breeding. Plant Breeding, 101: 1-23.
7. Cornelius, P. L. and J. Crossa. 1999. Prediction assessment of shrinkage estimators of multiplicative models for multi-environment cultivar trials. Crop Science, 39: 998-1009.
8. Crossa, J., H.G. Gauch and R.W. Zobel. 1990. Additive main effects and multiplicative interaction analysis of two international maize cultivar trials. Crop Science, 30: 493-500.
9. Crossa, J., P.L. Cornelius and W. Yan. 2001. Biplot of linear-bilinear models for studying crossover genotype × environment interaction. Crop Science, 41: 158-163.
10. Crossa, J., P.N. Fox, W.H. Pfeiffer, S. Rajaram and H.G. Gauch. 1991. AMMI adjustment for statistical analysis of an interaction wheat yield trial. Theoretical and Applied Genetics, 81: 27-37.
11. Dehghani, H., A. Ebadi and A. Yousefi. 2006. Biplot analysis of genotype by environment interaction for barley yield in Iran. Agronomy Journal, 98: 388-393.

12. Ebdon, J.S. and H.G. Gauch. 2002. Additive main effect and multiplicative interaction analysis of national turf grass performance trials: Interpretation of genotype \times environment interaction. *Crop Science*, 42: 489-496.
13. Falconer, D.S. 1989. *Introduction to Quantitative Genetics*. Longman Scientific & Technical, U.K. 438pp.
14. Farshadfar, E. and J. Sutka. 2006. Biplot analysis of genotype-environment interaction in durum wheat using the AMMI model. *Acta Agronomica Hungarica*, 54: 459-467.
15. Gauch, H.G. and R.W. Zobel. 1996. AMMI analysis of yield trials. In: *Genotype-by-Environment interaction*, Kang MS and HG Gauch (Eds.). Boca Raton CRC, New York, 85-122 pp.
16. Gower, J.C. and D.J. Hand. 1996. *Biplots*. Chapman and Hall, UK. 277 pp.
17. Hanamaratti, N.G., P.M. Salimth., C.H.M. Vijayakumar, R.L. Ravikumar, S.T. Kajjidoni and M.B. Chetti. 2009. Genotype stability of superior near isogenic introgression lines for productivity in upland rice. *Karnataka Journal of Agriculture Science*, 22: 736-740.
18. Kaiser, D.E., J.J. Wiersma and J.A. Anderson. 2014. Genotype and environment variation in elemental composition of spring wheat flag leaves. *Agronomy Journal*, 106: 324-336.
19. Lin, C.S., M.R. Binne and L.P. Lefcovitch. 1986. Stability analysis: where do we stand? *Crop Science*, 26: 894-900.
20. Kalateh-Jari, S., Kh. Mostafavi and A. Nabipour. 2014. Interaction of genotype and environment on the open pollinated sunflower (*Helianthus annuus*) cultivars based on parametric methods and tai method. *Journal of Crop Breeding*, 8(17): 114-122.
21. Marinkovic, R., M. Jockovic, A. Marjanovic-Jeromela, S. Jocic, M. Ceric, I. Balalic and Z. Sakac. 2011. Seed yield and oil content in sunflower (*Helianthus annuus* L.) using AMMI model. *Helia*, 34: 79-88.
22. Mostafavi, K., R. Choukan, M. Taeb, E. Majidi Heravan and M.R. Bihamta. 2011. Genetic potential evaluation of Iranian corn inbred line using griffing diallel and AMMI model. *Journal of Agricultural Research*, 2: 67-79 (In Persian).
23. Nikkhah, H.R., A. Yousefi, S.M. Mortazavian and M. Aratzmoo. 2007. Analysis of yield stability of barley (*Hordeum vulgare* L.) genotypes using additive main effects and multiplicative interaction (AMMI) model. *Iranian Journal of Crop Sciences*, 9: 1-12 (In Persian).
24. Peterson, C.J., M. Moffatt and J.R. Erickson. 1997. Yield stability of hybrid vs. pure line hard winter wheats in regional performance trials. *Crop Science*, 37: 116-120.
25. Qadir, G., S. Ahmad, F. Ul-Hassan and M.A. Cheema. 2006. Oil and fatty acid accumulation in sunflower (*Helianthus annuus* L.) as influenced by temperature variation *Pakistan Journal of Botany*, 38: 1137-1147.
26. Radic, V., S. Jocic and J. Mrda. 2008. Effect of environment on the chemical composition and some other parameters of sunflower seed quality. In: Proceedings of the 17th international sunflower (*Helianthus annuus* L.) conference, Cordoba, pp: 747-750.
27. Rondanini, D., R. Savin and A.J. Hall. 2003. Dynamics of fruit growth and oil quality of sunflower (*Helianthus annuus* L.) exposed to brief intervals of high temperature during grain filling. *Field Crop Res*, 83: 79-90.
28. Roy, D. 2000. *Plant breeding analysis and exploitation of variation*. Alpha Science International Ltd. U. K. 699pp.
29. Sabaghania, N., H. Dehghani and S.H. Shabaghpoor. 2008. Graphic analysis of genotype \times environment interaction of lentil yield in Iran. *Agron*, 100: 760-764.
30. Salah, B., M. Ahmed, A. Wahab and H. Abdalla. 2008. Genotype \times environment interaction for yield and yield components in sunflower (*Helianthus annuus* L.) hybrids. *Karnataka Journal of Agriculture Science*, 16: 15-31.
31. Saeid, A., M. Moghadam and A. Mohammadi. 2005. Investigation of yield stability in rics cultivars and lines using AMMI analysis. Abstract article of 8th Iranian Congress in Agronomy and Plant Breeding. Gilan University, Rasht, 168 pp (In Persian).
32. Shafii, B. and W.J. Price. 1998. Analysis of genotype-by-environment interaction using the additive main effects and multiplicative interaction model and stability estimates. *Journal of Agricultural, Biological. Environ. Stat*, 3: 335-345.
33. Schoemam, L.J. 2003. Genotype \times environment interaction in sunflower (*Helianthus annuus*) in South Africa. M.SC. Thesis, department of agronomy. Faculty of agricultural. University of Free State Bloemfontein, South Africa. 200 pp.
34. Stanley, O., P.B. Samante, T. Wilson, M.M. Anna and J.C. Medley. 2005. Targeting cultivars onto rice growing environment using AMMI and SREG GGE Biplot analysis. *Crop Science*, 45: 2414-2424.
35. Tarakanovas, P. and V. Ruzgas. 2006. Additive main effect and multiplicative interaction analysis of grain yield of wheat varieties in Lithuania. *Agronomy Research*, 4: 91-98.
36. Vargas, M., J. Crossa, F. Vaneeuwyk, D.K. Sayre and M.P. Reynolds. 2001. Interpreting treatment \times environment interaction in agronomy trials. *Agron*, 93: 949-960.
37. Yan, W., M.S. Kang, B. Ma, S. Woods and P.L. Cornelius. 2007. GGE biplot vs. AMMI analysis of genotype-by-environment data. *Crop Science*, 47: 643-655.
38. Yan, W. and M.S. Kang. 2003. *GGE-biplot analysis: A graphical tool for breeders, geneticists, and agronomists*. CRC Press, Boca Raton, FL. 288 pp.
39. Yan, W. and L.A. Hunt. 2002. Biplot analtsis of multi-environment trial data, in M. S. Kang, ed. *Quantitative genetics, genomics and plant breeding*. CAB international, pp: 288-303.
40. Yan, W. and I. Rajcan. 2002. Biplot analysis of test sites and trait relations of soybean in Ontario, *Crop Science*, 42: 11-20.

Stability Study of Yield in Sunflower (*Helianthus annuus* L.) Cultivars using AMMI Method

Ali Khomari¹, Khodadad Mostafavi² and Abdollah Mohammadi³

1- Ph. D. student, Young Researchers and Elite Club, Karaj Branch, Islamic Azad University, Karaj
2-Associated Professor, Islamic Azad University Karaj Branch (Corresponding author: mostafavi@kiau.ac.ir)

3- Associated Professor, Islamic Azad University Karaj Branch

Received: April 16, 2016

Accepted: July 4, 2016

Abstract

Genotype-environment interaction for plant breeders has been important as it is a complex issue in breeding for high yield varieties and releasing new genotypes. In order to assess adaptability and stability of sunflower varieties in different climate conditions, twelve cultivars were investigated in Karaj, Shiraz, Birjand, Kashmar and Arak in randomized complete block designs with three replications. To study genotype by environment interaction, additive main effects and multiplicative interaction (AMMI) model was used. Analysis of additive main effects (analysis of variance) and multiplicative interaction effects (principal components analysis) revealed that the effect of environment at 1% probability level and effect of genotype - environment interaction at 5% probability level were significant and tow first interaction principal components explained 84% of the interaction sum squares. Biplot of first interaction principle and mean yield revealed that Progress genotype had adequate yield and lowest value for first principle component. Therefore this genotype selected as a high yield and stable genotype; Record and Gabur genotypes were stable and high yield following Progress genotype. AMMI2 graph indicated that Progress, Master and Zargol in Arak and Karaj, Favorit, Record and Azargol in Shiraz, Gabur and SHF81-90 in Kashmar and Armaverski, Lakomka, Zaria and Sor in Birjand had specific adaptability. Among all genotypes, Zaria, Lakomka, SHF81-90, Gabur and Zargol had the highest general adaptability.

Keywords: Adaptability, AMMI, Genotype-environment interaction, Sunflower